

107484 – Controle de Processos

Aula: Sistemas dinâmicos de ordem superior

Prof. Eduardo Stockler Tognetti

Departamento de Engenharia Elétrica
Universidade de Brasília – UnB



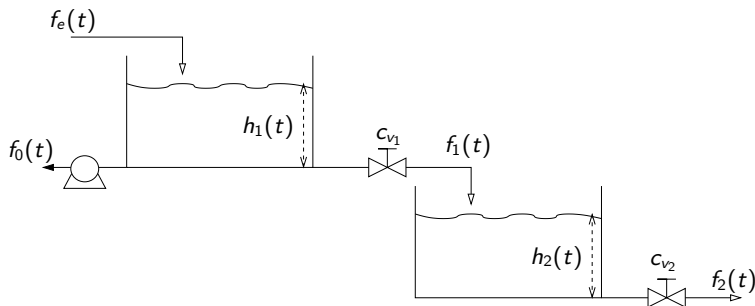
1º Semestre 2021

1 Sistemas não-interativos

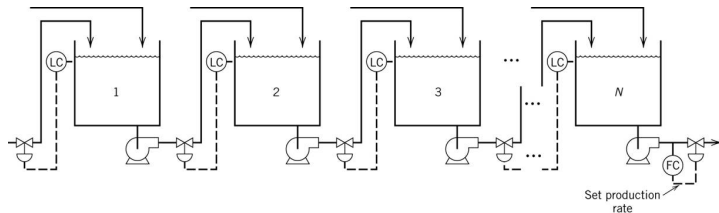
2 Sistemas interativos

Sistemas não-interativos

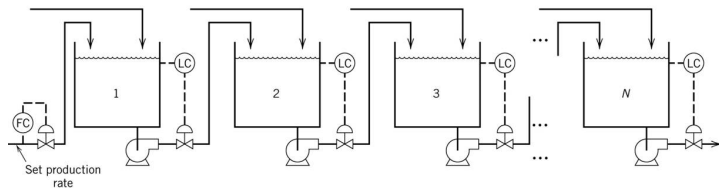
- Em processos não-interativos mudanças em unidades *downstream* não influenciam unidades *upstream*, ou seja, há influência ocorre apenas em um sentido.
- Pode-se estabelecer uma **associação em cascata** no diagrama de blocos das funções de transferência dos processos pois **não há efeito de carga**
- Exemplo de processo não-interativo:



Plantwide Control



(a) Downstream method: Plant production rate established with exit stream flow.

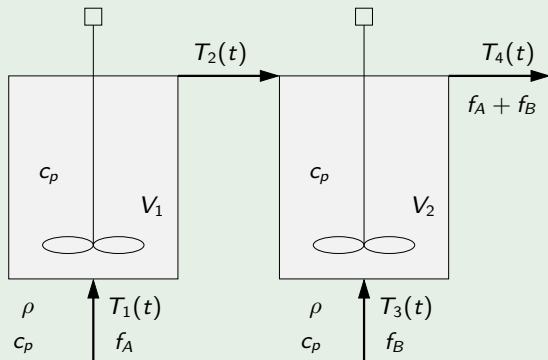


(b) Upstream method: Plant production rate established with inlet stream flow.

Figura: Fonte: Dale E. Seborg, Thomas F. Edgar, Duncan A. Mellichamp, Francis J. Doyle III. Process Dynamics and Control, 3rd Edition.

Exemplo: Reservatório térmico em série

Considere o sistema



- f_A, f_B constantes $\Rightarrow V_1, V_2$ constantes
- ρ, c_p constantes
- Como $T_4(t)$ é afetado por $T_1(t)$ e $T_3(t)$?

- Balanço de energia VC1:

$$m_1 \frac{d\hat{H}_2}{dt} = \dot{m}_A \hat{H}_1 - \dot{m}_A \hat{H}_2$$

$$\rho V_1 \frac{d}{dt} (c_p T_2(t)) = \rho f_A c_p T_1(t) - \rho f_A c_p T_2(t)$$

- Balanço de energia VC2:

$$\rho V_2 \frac{d}{dt} (c_p T_4(t)) = \rho f_A c_p T_2(t) + \rho f_B c_p T_3(t) - \rho (f_A + f_B) c_p T_4(t)$$

- Em estado estacionário:

$$\begin{cases} \bar{T}_1 - \bar{T}_2 = 0 \\ f_A \bar{T}_2 + f_B \bar{T}_3 - (f_A + f_B) \bar{T}_4 = 0 \end{cases}$$

- Definindo variáveis de desvio:

$$\tilde{T}_i(t) = T_i(t) - \bar{T}_i, \quad i = 1, \dots, 4$$

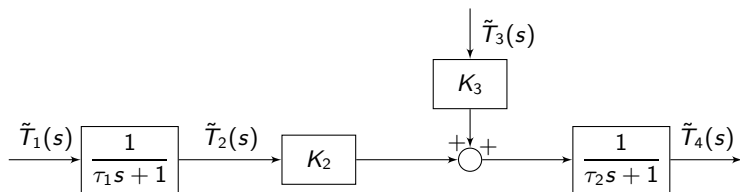
- Reescrevendo,

$$\begin{cases} \frac{V_1}{f_A} \frac{d\tilde{T}_2(t)}{dt} + \tilde{T}_2(t) = \tilde{T}_1(t) \\ \frac{V_2}{f_A + f_B} \frac{d\tilde{T}_4(t)}{dt} + \tilde{T}_4(t) = \frac{f_A}{f_A + f_B} \tilde{T}_2(t) + \frac{f_B}{f_A + f_B} \tilde{T}_3(t) \end{cases}$$

- Reescrevendo:

$$\begin{cases} \tau_1 \frac{d\tilde{T}_2(t)}{dt} + \tilde{T}_2(t) = \tilde{T}_1(t), & \tau_1 = \frac{V_1}{f_A} \\ \tau_2 \frac{d\tilde{T}_4(t)}{dt} + \tilde{T}_4(t) = K_2 \tilde{T}_2(t) + K_3 \tilde{T}_3(t), \end{cases}$$
$$\tau_2 = \frac{V_2}{f_A + f_B}, \quad K_2 = \frac{f_A}{f_A + f_B}, \quad K_3 = \frac{f_B}{f_A + f_B}.$$
$$\begin{cases} \tilde{T}_2(s) = \frac{1}{\tau_1 s + 1} \tilde{T}_1(s) \\ \tilde{T}_4(s) = \frac{K_2}{\tau_2 s + 1} \tilde{T}_2(s) + \frac{K_3}{\tau_2 s + 1} \tilde{T}_3(s) \end{cases}$$
$$\tilde{T}_4(s) = \frac{K_2}{(\tau_1 s + 1)(\tau_2 s + 1)} \tilde{T}_1(s) + \frac{K_3}{\tau_2 s + 1} \tilde{T}_3(s)$$

- Diagrama de blocos



- Como seria o diagrama de blocos se f_A e f_B não fossem constantes?

- Representação no espaço de estados:

$$\dot{x}(t) = Ax(t) + Bu(t)$$

em que x são os estados do sistema e u o vetor dos sinais de controle, ambos expressos em variáveis de desvio.

- Tem-se

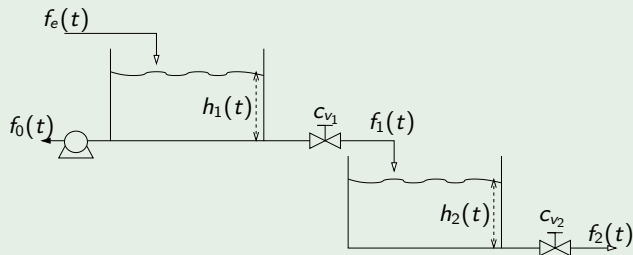
$$\begin{bmatrix} \dot{\tilde{T}}_2(t) \\ \dot{\tilde{T}}_4(t) \end{bmatrix} = \begin{bmatrix} -1/\tau_1 & 0 \\ K_2/\tau_2 & -1/\tau_2 \end{bmatrix} \begin{bmatrix} \tilde{T}_2(t) \\ \tilde{T}_4(t) \end{bmatrix} + \begin{bmatrix} 1/\tau_1 & 0 \\ 0 & K_3/\tau_2 \end{bmatrix} \begin{bmatrix} \tilde{T}_1(t) \\ \tilde{T}_3(t) \end{bmatrix}$$

e portanto

$$x(t) = \begin{bmatrix} \tilde{T}_2(t) \\ \tilde{T}_4(t) \end{bmatrix}, \quad u(t) = \begin{bmatrix} \tilde{T}_1(t) \\ \tilde{T}_3(t) \end{bmatrix}, \quad A = \begin{bmatrix} -1/\tau_1 & 0 \\ K_2/\tau_2 & -1/\tau_2 \end{bmatrix}, \quad B = \begin{bmatrix} 1/\tau_1 & 0 \\ 0 & K_3/\tau_2 \end{bmatrix}$$

Exemplo: processo de nível não-interativo

Seja o processo



- Deseja-se saber como $h_2(t)$ é afetado por $f_e(t)$ e $f_0(t)$?

- O fluxo através das válvulas é dado por $f(t) = C_v \sqrt{\frac{\Delta P(t)}{G_f}}$

C_v : coeficiente de vazão da válvula

G_f : densidade relativa [adm]

- Considere:

$$\Delta P_i(t) = P_a + \rho g h_i(t) - P_a = \rho g h_i(t)$$

$$f_i(t) = C_{v_i} \sqrt{\frac{\rho g h_i(t)}{G_f}} = C'_{v_i} \sqrt{h_i(t)}, \quad C'_{v_i} = C_{v_i} \sqrt{\frac{\rho g}{G_f}}$$

Logo,

$$\begin{cases} A_1 \frac{dh_1(t)}{dt} = f_e(t) - f_o(t) - C'_{v_1} \sqrt{h_1(t)} \\ A_2 \frac{dh_2(t)}{dt} = C'_{v_1} \sqrt{h_1(t)} - C'_{v_2} \sqrt{h_2(t)} \end{cases}$$

Análise de graus de liberdade

- Parâmetros: $A_1, A_2, C'_{v_1}, C'_{v_2}$
- Número de equações: $N_E = 2$
- Número de variáveis: $N_V = 4$ (h_1, h_2, f_e, f_o)
- Graus de liberdade: $f = N_V - N_E = 2$
- Classificação das variáveis:
 - Variáveis de saída: h_1 e h_2
 - Variáveis de entrada: f_e e $f_o \rightarrow$ distúrbio ou var. manipulada
 - $f_e \rightarrow$ distúrbio \rightsquigarrow escolha do projetista
 - $f_o \rightarrow$ var. manipulada (MV) \rightsquigarrow escolha do projetista
 - Obs.: Mesmo que f_e e f_o sejam MV, não é possível controlar h_1 e h_2 simultaneamente. **Por que?**

Opção para controle de h_1 e h_2 :

$$\begin{array}{l} C'_{v_1} \rightarrow C'_{v_1}(t) \\ C'_{v_2} \rightarrow C'_{v_2}(t) \end{array} \Rightarrow \begin{array}{l} N_E = 2 \\ N_V = 6 \end{array} \Rightarrow f = 4 \left\{ \begin{array}{l} \text{distúrbio: } f_e, f_o \\ \text{var. manipulada (MV): } C'_{v_1}(t), C'_{v_2}(t) \end{array} \right.$$

- Linearizando em torno de \bar{h}_1 e \bar{h}_2 :

$$f_i(t) \approx \bar{f}_i + c_i(h_i(t) - \bar{h}_i), \quad c_i = \left. \frac{\partial f_i}{\partial h_i} \right|_{\bar{h}_i} = \frac{1}{2} C'_{v_i}(\bar{h}_i)^{-1/2}, \quad i = 1, 2$$

Tem-se

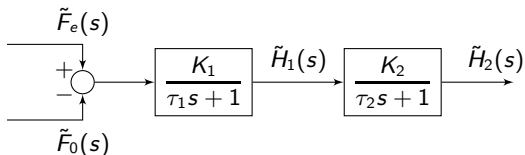
$$\tilde{H}_1(s) = \frac{K_1}{\tau_1 s + 1} \tilde{F}_e(s) - \frac{K_1}{\tau_1 s + 1} \tilde{F}_o(s)$$

$$\tilde{H}_2(s) = \frac{K_2}{\tau_2 s + 1} \tilde{H}_1(s) = \frac{K_1 K_2}{(\tau_1 s + 1)(\tau_2 s + 1)} (\tilde{F}_e(s) - \tilde{F}_o(s))$$

em que $\tau_i = \frac{A_i}{c_i}$, $K_1 = \frac{1}{c_1}$, $K_2 = \frac{c_1}{c_2}$, $i = 1, 2$.

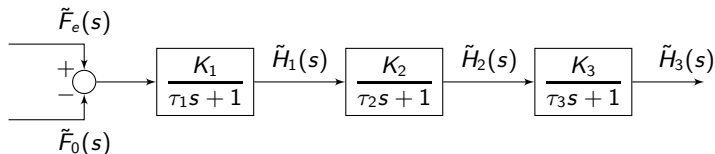
Sistemas não-interativos

- Diagrama de blocos



- Obs.: Sistema pode ser de n-ésima ordem porém os polos serão sempre reais nesse caso (resposta sobreamortecida ou criticamente amortecida)

- Exemplo: 3 tanques não-interativos



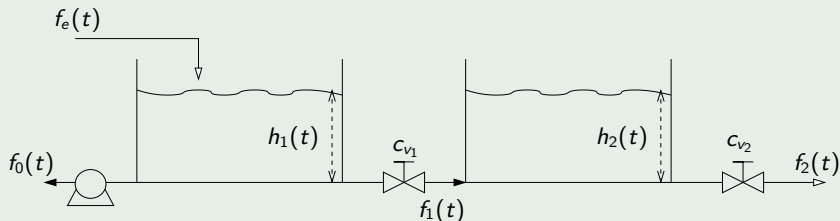
1 Sistemas não-interativos

2 Sistemas interativos

- Em processos interativos mudanças em unidades *downstream* influenciam unidades *upstream* e vice-versa.

Exemplo de processo interativo

- Seja o sistema de nível interativo



↪ Verifique como o nível do segundo reservatório $h_2(t)$ é influenciado pelos fluxos $f_e(t)$ e $f_0(t)$.

- Assuma regime de escoamento turbulento, logo

$$\begin{cases} f_1(t) = C'_{v_1} \sqrt{h_1(t) - h_2(t)} \\ f_2(t) = C'_{v_2} \sqrt{h_2(t)} \end{cases}$$

$$\begin{cases} A_1 \frac{dh_1(t)}{dt} = f_e(t) - f_0(t) - f_1(t) \\ A_2 \frac{dh_2(t)}{dt} = f_1(t) - f_2(t) \end{cases}$$

- Linearizando em torno de \bar{h}_1 e \bar{h}_2 :

$$f_2(t) \approx \bar{f}_2 + c_2(h_2(t) - \bar{h}_2), \quad c_2 = \left. \frac{\partial f_2}{\partial h_2} \right|_{\bar{h}_2} = \frac{1}{2} C'_{v_2} (\bar{h}_2)^{-1/2}$$

$$f_1(t) \approx \bar{f}_1 + c_{11}(h_1(t) - \bar{h}_1) + c_{12}(h_2(t) - \bar{h}_2), \quad c_{11} = \left. \frac{\partial f_1}{\partial h_1} \right|_{\bar{h}_1, \bar{h}_2}, \quad c_{12} = \left. \frac{\partial f_1}{\partial h_2} \right|_{\bar{h}_1, \bar{h}_2}$$

$$c_1 = c_{11} = -c_{12} = \frac{1}{2} C'_{v1} (\bar{h}_1 - \bar{h}_2)^{-1/2}$$

• Logo,

$$\tilde{H}_1(s) = \frac{K_1}{\tau_1 s + 1} [\tilde{F}_e(s) - \tilde{F}_0(s)] + \frac{1}{\tau_1 s + 1} \tilde{H}_2(s), \quad (1)$$

$$\tau_1 = \frac{A_1}{c_1}, \quad K_1 = \frac{1}{c_1}$$

e

$$\tilde{H}_2(s) = \frac{K_2}{\tau_2 s + 1} \tilde{H}_1(s), \quad (2)$$

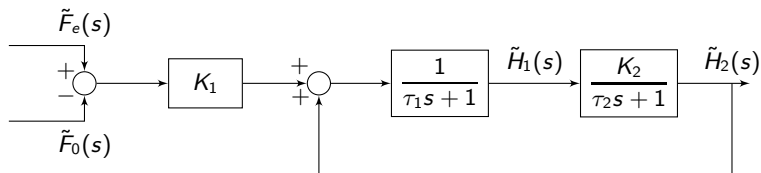
$$\tau_2 = \frac{A_2}{c_1 + c_2}, \quad K_2 = \frac{c_1}{c_1 + c_2}$$

- Substituindo (1) em (2),

$$\tilde{H}_2(s) = \frac{K_1 K_2}{(\tau_1 s + 1)(\tau_2 s + 1)} [\tilde{F}_e(s) - \tilde{F}_0(s)] + \frac{K_2}{(\tau_1 s + 1)(\tau_2 s + 1)} \tilde{H}_2(s)$$

$$\tilde{H}_2(s) = \frac{\frac{K_1 K_2}{1 - K_2}}{\left(\frac{\tau_1 \tau_2}{1 - K_2}\right) s^2 + \left(\frac{\tau_1 + \tau_2}{1 - K_2}\right) s + 1} [\tilde{F}_e(s) - \tilde{F}_0(s)]$$

- Diagrama de blocos:

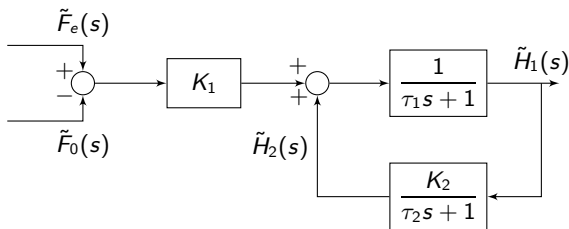


- Observe que

$$\tilde{H}_1(s) = \frac{K_1}{\tau_1 s + 1} [\tilde{F}_e(s) - \tilde{F}_0(s)] + \frac{K_2}{(\tau_1 s + 1)(\tau_2 s + 1)} \tilde{H}_1(s)$$

$$\tilde{H}_1(s) = \frac{K_1(\tau_2 s + 1)}{(\tau_1 s + 1)(\tau_2 s + 1) - K_2} [\tilde{F}_e(s) - \tilde{F}_0(s)] \quad (\text{sistema de } 2^{\text{a}} \text{ ordem com zero})$$

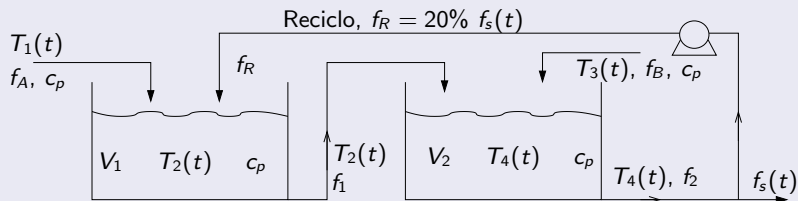
- Diagrama de blocos:



Processos com reciclo

Exercício

Seja o sistema com reciclo de 20% do fluxo total para fora do processo



↪ Verifique como a temperatura do segundo reservatório $T_4(t)$ é influenciada pelas temperaturas dos fluxos de entrada $T_1(t)$ e $T_3(t)$.

Observe que

$$\begin{aligned} f_s &= f_A + f_B, & f_1 &= f_A + f_R \\ f_R &= 0,2 f_s, & f_2 &= f_B + f_1 = f_s + 0,2 f_s \end{aligned}$$

Exercício

- Equações diferenciais do processo

$$V_1 \rho c p \frac{dT_2(t)}{dt} = f_A \rho c p T_1(t) + [0.2(f_A + f_B)] \rho c p T_4(t) - [f_A + 0.2(f_A + f_B)] \rho c p T_2(t)$$

$$V_2 \rho c p \frac{dT_4(t)}{dt} = [f_A + 0.2(f_A + f_B)] \rho c p T_2(t) + f_B \rho c p T_3(t) - [1.2(f_A + f_B)] \rho c p T_4(t)$$

- Dinâmica no domínio s

$$\tilde{T}_2(s) = \frac{K_1}{\tau_1 s + 1} \tilde{T}_1(s) + \frac{K_2}{\tau_1 s + 1} \tilde{T}_4(s)$$

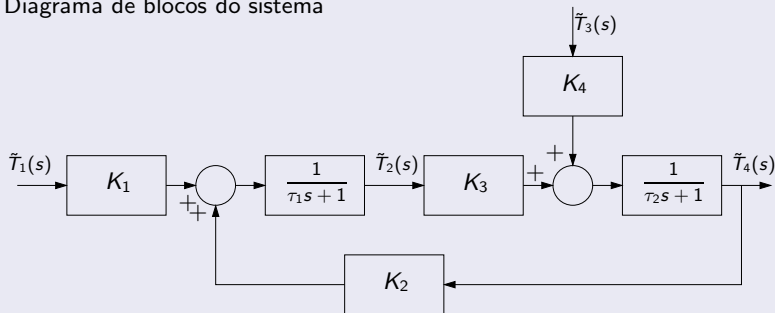
$$\tilde{T}_4(s) = \frac{K_3}{\tau_2 s + 1} \tilde{T}_2(s) + \frac{K_4}{\tau_2 s + 1} \tilde{T}_3(s)$$

- Funções de transferência

$$\frac{\tilde{T}_4(s)}{\tilde{T}_1(s)} = \frac{K_1 K_3}{(\tau_1 s + 1)(\tau_2 s + 1) - K_2 K_3}, \quad \frac{\tilde{T}_4(s)}{\tilde{T}_3(s)} = \frac{K_4(\tau_1 s + 1)}{(\tau_1 s + 1)(\tau_2 s + 1) - K_2 K_3}$$

Exercício

- Diagrama de blocos do sistema



$$K_1 = \frac{f_A}{f_A + 0,2(f_A + f_B)},$$

$$K_2 = \frac{0,2(f_A + f_B)}{f_A + 0,2(f_A + f_B)}$$

$$K_3 = \frac{f_A + 0,2(f_A + f_B)}{1,2(f_A + f_B)},$$

$$K_4 = \frac{f_B}{1,2(f_A + f_B)}$$

$$\tau_1 = \frac{V_1}{f_A + 0,2(f_A + f_B)},$$

$$\tau_2 = \frac{V_2}{1,2(f_A + f_B)}$$

- Representação no espaço de estados:

$$\dot{x}(t) = Ax(t) + Bu(t)$$

em que x são os estados do sistema e u o vetor dos sinais de controle, ambos expressos em variáveis de desvio.

- Tem-se

$$\begin{bmatrix} \dot{\tilde{T}}_2(t) \\ \dot{\tilde{T}}_4(t) \end{bmatrix} = \begin{bmatrix} -1/\tau_1 & K_2/\tau_1 \\ K_3/\tau_2 & -1/\tau_2 \end{bmatrix} \begin{bmatrix} \tilde{T}_2(t) \\ \tilde{T}_4(t) \end{bmatrix} + \begin{bmatrix} K_1/\tau_1 & 0 \\ 0 & K_4/\tau_2 \end{bmatrix} \begin{bmatrix} \tilde{T}_1(t) \\ \tilde{T}_3(t) \end{bmatrix}$$

e portanto

$$x(t) = \begin{bmatrix} \tilde{T}_2(t) \\ \tilde{T}_4(t) \end{bmatrix}, \quad u(t) = \begin{bmatrix} \tilde{T}_1(t) \\ \tilde{T}_3(t) \end{bmatrix}, \quad A = \begin{bmatrix} -1/\tau_1 & K_2/\tau_1 \\ K_3/\tau_2 & -1/\tau_2 \end{bmatrix}, \quad B = \begin{bmatrix} K_1/\tau_1 & 0 \\ 0 & K_4/\tau_2 \end{bmatrix}$$

Representação no espaço de estados

- Seja um sistema linear invariante no tempo

$$\begin{cases} \dot{x}(t) = Ax(t) + Bu(t), & x(0) = x_0 \\ y(t) = Cx(t) + Du(t) \end{cases}$$

Conversão de espaço de estados para função de transferência

$$G(s) = C(sI - A)^{-1}B + D$$

- No exemplo anterior temos

$$y(t) = x(t), \quad C = \begin{bmatrix} 1 & 0 \\ 0 & 1 \end{bmatrix}, \quad D = \begin{bmatrix} 0 & 0 \\ 0 & 0 \end{bmatrix}$$

$$Y(s) = G(s)U(s), \quad Y(s) = \begin{bmatrix} \tilde{T}_2(s) \\ \tilde{T}_4(s) \end{bmatrix}, \quad U(s) = \begin{bmatrix} \tilde{T}_1(t) \\ \tilde{T}_3(t) \end{bmatrix}$$

e portanto

$$\begin{bmatrix} \tilde{T}_2(s) \\ \tilde{T}_4(s) \end{bmatrix} = (sI - A)^{-1}B \begin{bmatrix} \tilde{T}_1(t) \\ \tilde{T}_3(t) \end{bmatrix}$$

- Obs.: o termo $(sI - A)^{-1}$ pode ser calculado por meio do uso da matriz adjunta, m ou seja, $M^{-1} = \frac{1}{\det(M)} \text{adj}(M)$, $M = sI - A$.